

تعیین پارامترهای دزیمتری یک چشمۀ طراحی شده جدید I^{125} با مارکر $\text{Ag} + \text{Al}_2\text{O}_3$

در فانتوم آب

اکرم اسلامی باباحدیری* و مجتبی شمسایی ظفرقدی

دانشکده فیزیک و مهندسی هسته‌ای، دانشگاه صنعتی امیرکبیر، تهران، ایران.

* تهران، پل حافظ، دانشگاه صنعتی امیرکبیر، دانشکده مهندسی هسته‌ای و فیزیک، کد پستی: ۱۵۹۱۶-۳۴۳۱۱

پست الکترونیکی: a_eslamii@yahoo.com

چکیده

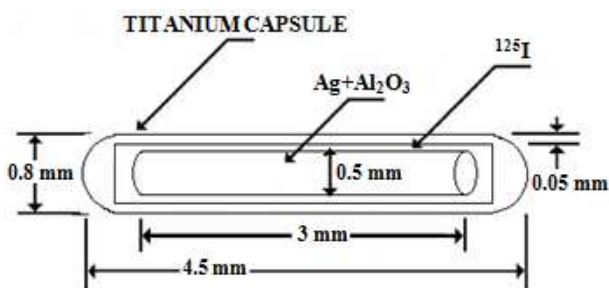
از آنجاکه چشمۀ‌های رادیواکتیو در برآکی تراپی، نقش عمده‌ای در درمان تومورهای بدخیم موضعی ایفا می‌کند، یک چشمۀ جدید I^{125} طراحی شده است. چشمۀ کپسولی از جنس تیتانیوم و حاوی استوانه‌ای از ترکیب نقره و اکسید آلومینیوم است. روی این استوانه یک قرار گرفته است. چشمۀ در مرکز فانتومی کروی قرار گرفته و با شبیه‌سازی مونت کارلو، کد ver. ۲/۶ MCNPX ویژگی‌های دزیمتری آن، از جمله شدت کرمای هوا، ثابت نرخ دز و تابع دز شعاعی و تابع ناهمسانگردی مطابق با دستورالعمل TG-43 U1 به دست آمد. ثابت نرخ دز $U^{-1} cGy h^{+0.12} \pm 0.08$ می‌باشد. با استفاده از اطلاعات به دست آمده می‌توان نتیجه گرفت که این اندازه‌گیری شد و ویژگی‌های دزیمتری آن با چشمۀ‌های معمول دیگر مقایسه شد. با استفاده از اطلاعات به دست آمده می‌توان نتیجه گرفت که این تحقیق می‌تواند زمینه‌ساز ساخت و استفاده از این چشمۀ در برآکی تراپی شود. به خصوص اینکه طبق آزمایش‌های یک گروه پژوهشی در کره، کل مراحل آماده شدن مارکر، ۶ ساعت طول می‌کشد و این میله به راحتی درون استوانه‌های تیتانیومی قرار می‌گیرد.

کلیدواژگان: برآکی تراپی، TG-43 U1، روش مونت کارلو، MCNPX، I^{125} ، پارامترهای دزیمتری، $\text{Ag} + \text{Al}_2\text{O}_3$.

۱. مقدمه

ساخت چشمۀ‌های برآکی تراپی تنوع یافته است. در سال ۲۰۰۷ در کره تحقیقی انجام گرفت که در آن، اکسید آلومینیوم و نقره به صورت پودر با یکدیگر مخلوط و پس از طی مراحلی تحت فشار $ton/cm^2 1/2$ به صورت میله‌های استوانه‌ای به طول $3 cm$ و قطر $cm 25/0$ درآمد و سپس این استوانه‌ها در محلولی حاوی $mCi 5$ I^{125} قرار داده شدند، سپس با تغییر شرایطی مثل میزان غلظت محلول یا مدت زمان قرار داده شدن میله‌ها در محلول و... بهینه‌سازی جذب I^{125} روی این استوانه‌ها، مورد بررسی قرار گرفت [۷]. بر این اساس، در این تحقیق، چشمۀ منحصر به فردی طراحی شد که مارکر آن $\text{Ag} + \text{Al}_2\text{O}_3$ است و سپس ویژگی‌های پارامتری آن از روش مونت کارلو به دست آمد.

برآکی تراپی یکی از راه‌های درمان تومورهای بدخیم است. برآکی تراپی با استفاده از چشمۀ‌هایی که فوتون‌هایی با انرژی پایین گسیل می‌کنند، یکی از مهم‌ترین روش‌ها برای درمان سرطان پروستات است. از مزایای آن نسبت به روش‌های دیگر، درمان مثل جراحی یا تله‌تراپی کاهش آسیب به قسمت‌های سالم دیگر بافت و از بین رفتن فرصت ترمیم سلول‌های سرطانی است [۶-۱]. رادیو ایزوتوب I^{125} ایزوتوبی با فوتون‌های کم انرژی است که چون دز ناشی از آن، در فاصله‌های زیاد به شدت افت می‌کند، می‌تواند ایزوتوب مناسبی در چشمۀ‌های برآکی تراپی باشد. با توسعه درمان به شیوه برآکی تراپی، طراحی و



شکل ۱: شکل چشم

طیف انرژی فوتون I^{125} طبق دستورالعمل TG-43 U1 در جدول زیر آمده است [۸]:

جدول ۱: طیف انرژی فوتون I¹²⁵

انرژی فوتون (KeV)	فوتون در هر واپاشی
۲۷/۲۰۲	۰/۴۰۶
۲۷/۴۷۲	۰/۷۵۷
۳۰/۹۸	۰/۰۲۰
۳۱/۷۱	۰/۰۴۳۹
۳۵/۴۹۲	۰/۰۶۶۸

۲.۲. پارامترهای دزیمتری

طبق پروتکل TG-43 U1 [۸]، ثابت نرخ دز، Δ ، به نسبت نرخ دز در فانتوم در فاصله یک سانتی‌متری روی محور عمود بر چشم به شدت کرمای هوا، تعریف می‌شود:

$$\Lambda = \frac{\dot{D}(r_0, \theta_0)}{S_K} \quad (1)$$

یا شدت کرمای هوا نیز معیاری از شدت چشم است S_k برای تراپی است و به صورت حاصل ضرب میزان کرمای هوا در فاصله d تعریف می‌شود؛ یعنی

$$S_k = k_\delta d^2 \quad (2)$$

که k_δ ناشی از فوتون‌های با انرژی بیشتر از ۵ (۵ KeV)

است و واحد S_k ، $\mu\text{Gm y}^2\text{h}^{-1}$ با $\text{cGy cm}^2\text{h}^{-1}$ (این یکاها

چک شوند) است که به آن U نیز می‌گویند. پارامتر دیگر که باید محاسبه شود، تابع دز شعاعی است که بیانگر آثار جذب و

از آنجاکه برای کاهش آسیب‌های احتمالی به بافت سالم، مقدار دز رسیده به بافت باید کنترل شده باشد، انجمن فیزیک پرشکی آمریکا (AAPM) گروهی تحت عنوان U1 TG-43 را به منظور تعریف و تعیین پارامترهای مورد نیاز چشم‌های برآکی تراپی تشکیل داد. این انجمن توصیه می‌کند که قبل از استفاده از هر چشم‌های، باید پارامترهای دزیمتریک آن به دو روش مونت کارلو و اندازه‌گیری عملی تعیین شود [۸]. طبق توصیه انجمن TG-43U1 در شبیه‌سازی مونت کارلو مشخصات چشم، طیف انرژی و مشخصات محیط باید به طور دقیق به کار روند تا بتوان روش ارجائشده آن‌ها را روشنی دقیق برای استفاده از چشم‌های دانست. به همین دلیل در این تحقیق، بعد از تعریف دقیق چشم و محیط ویژگی‌های دزیمتری، از جمله شدت کرمای هوا، ثابت نرخ دز، تابع دز شعاعی و تابع ناهمسانگردی به منظور استفاده از آن در درمان، به دست آمد و با چشم‌های مشابه دیگر مقایسه شد.

۲. مواد و روش‌ها

۲.۱. مشخصات چشم

این چشم کپسولی از جنس تیتانیوم با قطرهای داخلی و خارجی $0/۸$ و $۰/۷$ میلی‌متر، یعنی با ضخامت متوسط $۰/۰۵$ میلی‌متر و ضخامت انتهای دو طرف کپسول $۰/۴$ میلی‌متر است و حاوی استوانه‌ای از ترکیب نقره و اکسید آلومینیم با چگالی $۸/۵ \text{ g.cm}^{-3}$ است. (ترکیب نقره و اکسید آلومینیم به ترتیب با درصد وزنی ۱۵ و ۸۵ است). طول استوانه (مارکر) $۱۰/۳$ میلی‌متر و شعاع آن $۰/۲۵$ میلی‌متر است و روی این استوانه I^{125} به صورت AgI یکنواخت و به ضخامت ۵×10^{-5} میلی‌متر و با چگالی $۳/۶۴۰ \text{ g.m}^{-3}$ قرار گرفته است. نیمه عمر این ایزوتوپ $۵۹/۴$ روز است [۷].

$$\bar{\phi}_{an} = \frac{\sum \dot{D}_i(r) \phi_{an}(r)}{\sum \dot{D}_i(r)} \approx \frac{\sum (1/r^2) \phi_{an}(r)}{\sum (1/r^2)} \quad (7)$$

در این تحقیق، شدت کرمای هوا، ثابت نرخ دز و تابع دز شعاعی و تابع ناهمسانگردی یکبعدی و دو بعدی و ثابت ناهمسانگردی برای چشمۀ محاسبه شده‌اند.

۳.۲. روش شبیه‌سازی

چشمۀ در مرکز فانتومی کروی آب به شعاع ۳۰ سانتی‌متر و با چگالی $g.m^{-3}$ ۰/۹۹۸ و متشكل از یک اتم اکسیژن و دو اتم هیدروژن، قرار گرفته است و سپس پارامترهای دزیمتری به‌دست آمده است.

کد MCNP یکی از کدهای بسیار کارآمد برای شبیه‌سازی دزیمتری به وسیله کد MCNPX ver. ۲/۶ انجام شده‌اند. دز جذب شده با استفاده از تالی‌های F در زاویه‌های $0, 10, 20, 30, \dots, 90$ و در فاصله‌های $0/1, 0/2, 0/5, 0/75, 0/15, 0/25, 0/3, 0/5, 0/7, 0/9$ و 10 سانتی‌متری در حجم‌هایی از آب محصور به لایه‌های کروی و لایه‌های مخروطی و با ضخامت $0/001$ سانتی‌متر است [۱۳، ۱۲، ۸].

شدت کرمای هوا^۱ با استفاده از تالی F در پوسته‌های کروی پر از هوا در محیط خلا به‌دست آمده است [۱۱، ۸].

هر چند S_k مستقل از فاصله است، برای دقت بیشتر شدت کرمای هوا در فواصل $5, 10, 15, 20, 30$ و 40 سانتی‌متری از چشمۀ به‌دست می‌آید.

تالی F نیز برای محاسبه تابع آرایش هندسی، $G(r, \theta)$ ، به کار می‌رود [۱۲] که از رابطه تحلیلی F ، نیز به‌دست می‌آید. $(g(r))$ در فاصله‌های $0/1, 0/2, 0/5, 0/7, 0/15, 0/25, 0/3, 0/5, 0/75, 0/9$ و 10 سانتی‌متری و $F(r, \theta)$ در

پراکندگی در آب در طول محور عمودی چشمۀ و در $2/2$

$\theta = \pi$ می‌باشد و به صورت زیر تعریف می‌شود:

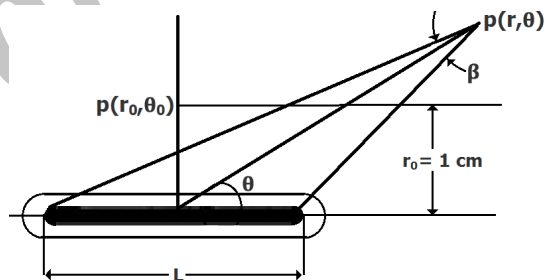
$$g(r) = \frac{\dot{D}(r, \theta_0) G(r_0, \theta_0)}{\dot{D}(r_0, \theta_0) G(r, \theta_0)} \quad (3)$$

در این رابطه، $G(r_0, \theta_0)$ تابع آرایش هندسی در نقطۀ مرجع یعنی $G(1\text{cm}, \pi/2)$ است. این تابع برای در نظر گرفتن وابستگی شارش فوتون حول چشمۀای با فضای آزاد است. $G(r, \theta)$ را می‌توان از رابطه‌های زیر به‌دست آورد:

$$G_P(r, \theta) = r^{-2} \quad (4)$$

$$G_L(r, \theta) = \begin{cases} \frac{\beta}{Lr \sin(\theta)}, & \theta \neq 0^\circ \\ \left(r^2 - L^2/4\right)^{-1}, & \theta = 0^\circ \end{cases}$$

که میزان β را می‌توان با توجه به شکل زیر به‌دست آورد:



شکل ۲: هندسه در نظر گرفته شده در محاسبات دز

تابع دیگر تابع ناهمسانگردی است که توزیع دز را ناشی از اثرهای جذب و پراکندگی در اطراف چشمۀ بررسی می‌کند و تابع ناهمسانگردی دو بعدی به این صورت تعریف می‌شود:

$$F(r, \theta) = \frac{\dot{D}(r, \theta) G(r, \theta_0)}{\dot{D}(r, \theta_0) G(r, \theta)} \quad (5)$$

تابع ناهمسانگردی یک بعدی نیز فقط بر حسب فاصله است و از این رابطه به‌دست می‌آید:

$$\phi_{an}(r) = \frac{\int_0^\theta \dot{D}(r, \theta) \sin(\theta) d(\theta)}{\dot{D}(r, \theta_0)} \quad (6)$$

ثابت ناهمسانگردی را نیز می‌توان از این رابطه به‌دست آورد:

ثابت نرخ دز، Δ ثابت نرخ دز $\Delta = 0.980 \pm 0.012 \text{ cGyh}^{-1}\text{U}^{-1}$ سانتی متری و در زوایای $0^\circ, 30^\circ, 45^\circ, 60^\circ, 70^\circ$ و 80° درجه از طریق روابط آورده شده پارامترهای دیگر دزیمتري در جدول های ۲ و ۳ به دست آمده است و با نتایج چند چشمۀ مقایسه معمول I^{125} مقایسه شده است (در محیط آب).

فاصله های $0/5, 1, 2, 3, 4, 5$ سانتی متری و در زوایای $10^\circ, 20^\circ, 30^\circ, 40^\circ, 50^\circ, 60^\circ, 70^\circ$ و 80° درجه از طریق روابط آورده شده محاسبه می شود. در این تحقیق، برای رسیدن به خطای نسبی هرچه کمتر، تعداد تاریخچه ها 4×10^8 در نظر گرفته شد.

۳. یافته ها و نتایج

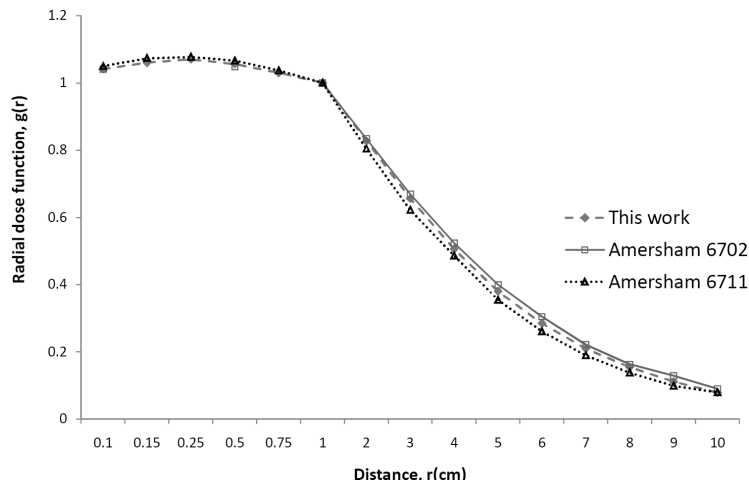
در این تحقیق، تعداد تاریخچه ها 4×10^8 در نظر گرفته شد.

جدول ۲: ثابت نرخ دز (Δ) و مقایسه آن با دیگر پژوهش ها

Δ (cGyh $^{-1}$ U $^{-1}$)	روش	چشمۀ
0.980 ± 0.012	مونت کارلو	این تحقیق
0.98 ± 0.03	مونت کارلو	[۱۶] IAI-125
0.973	مونت کارلو	[۱۷] Amersham 6711
1.030	مونت کارلو	[۱۷] Amersham 6702
1.03	مونت کارلو	[۱۸] InterSource 125I
1.05	اندازه گیری	[۱۹] Best Industries 2301
1.06	اندازه گیری	[۲۰] MED3631

جدول ۳: تابع دز شعاعی (r) و مقایسه آن با دیگر پژوهش ها

Amersham	IsoAid	چشمۀ	فاصله
	ADVANTAGE TM I^{125}	جدید	(cm)
$1/0.55$	$1/0.40$	$1/0.46$	$0/1$
$1/0.78$	$1/0.66$	$1/0.65$	$0/15$
$1/0.82$	$1/0.65$	$1/0.79$	$0/2$
$1/0.71$	$1/0.48$	$1/0.75$	$0/25$
$1/0.41$	$1/0.41$	$1/0.72$	$0/3$
$1/0.42$	$1/0.42$	$1/0.61$	$0/5$
$1/0.42$	$1/0.42$	$1/0.50$	$0/6$
$1/0.42$	$1/0.42$	$1/0.41$	$0/7$
$1/0.00$	$1/0.00$	$1/0.35$	$0/75$
$0/814$	$0/834$	$1/0.00$	1
$0/632$	$0/669$	$0/065$	2
$0/496$	$0/523$	$0/837$	3
$0/364$	$0/399$	$0/516$	4
$0/270$	$0/305$	$0/390$	5
$0/199$	$0/222$	$0/295$	6
$0/148$	$0/163$	$0/220$	7
$0/109$	$0/129$	$0/164$	8
$0/0803$	$0/09$	$0/121$	9
		$0/089$	10



شکل ۳: نمودار تابع دز شعاعی و مقایسه آن با دیگر پژوهش‌ها

جدول ۴: تابع ناهمسانگردی چشمۀ
فاصله (cm)

۵	۴	۳	۲	۱	۰/۵	زاویه(درجه)
۰/۶۱۵	۰/۶۱۰	۰/۵۹۰	۰/۴۶۰	۰/۳۸۰	۰/۴۱۰	۰
۰/۶۷۶	۰/۶۵۴	۰/۶۲۸	۰/۵۸۲	۰/۵۰۵	۰/۴۱۷	۱۰
۰/۷۷۸	۰/۷۶۵	۰/۷۴۹	۰/۷۲۱	۰/۶۷۷	۰/۶۲۷	۲۰
۰/۸۵۲	۰/۸۴۳	۰/۸۳۳	۰/۸۱۹	۰/۷۹۵	۰/۷۷۳	۳۰
۰/۹۰۵	۰/۸۹۹	۰/۸۹۴	۰/۸۸۶	۰/۸۷۷	۰/۸۶۶	۴۰
۰/۹۵۱	۰/۹۴۲	۰/۹۳۹	۰/۹۳۴	۰/۹۲۹	۰/۹۴۷	۵۰
۰/۹۷۷	۰/۹۷۰	۰/۹۷۲	۰/۹۶۶	۰/۹۶۷	۰/۹۶۴	۶۰
۰/۹۹۲	۰/۹۸۷	۰/۹۸۶	۰/۹۸۶	۰/۹۸۸	۰/۹۸۳	۷۰
۱/۰۰۵	۱/۰۰۰	۰/۹۹۸	۰/۹۹۸	۰/۹۹۸	۰/۹۹۴	۸۰
۱/۰۰۰	۱/۰۰۰	۱/۰۰۰	۱/۰۰۰	۱/۰۰۰	۱/۰۰۰	۹۰

جدول ۵: مقایسه تابع ناهمسانگردی این تحقیق با دیگر پژوهش‌ها (فاصله ۰/۵ و ۱ سانتی‌متری)

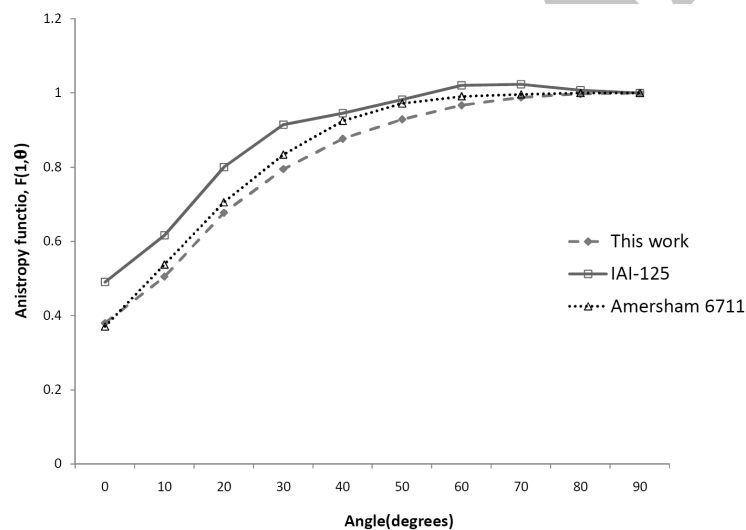
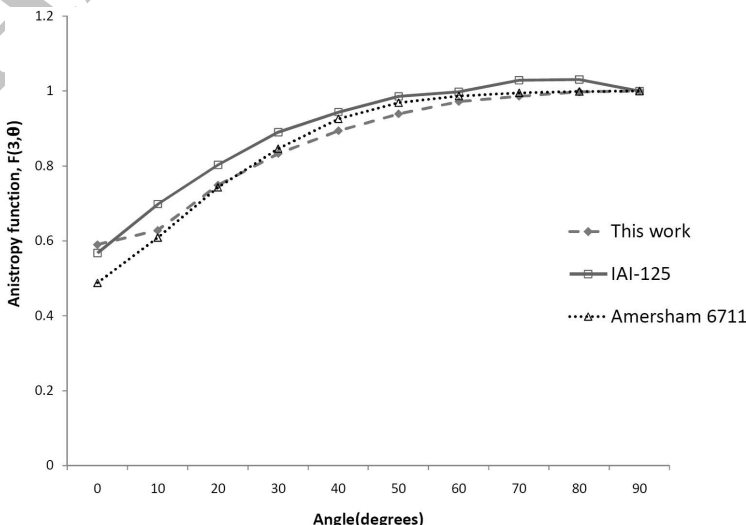
فاصله (cm)

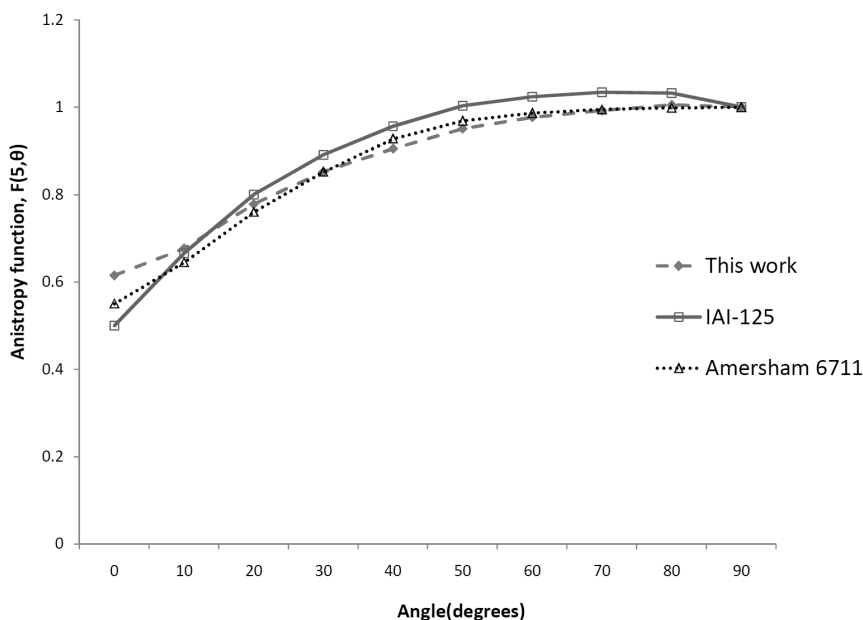
۲		۱		۰/۵		زاویه(درجه)
Amersham 6711	این تحقیق	Amersham 6711	این تحقیق	Amersham 6711	این تحقیق	
۰/۵۷۶	۰/۴۴۲	۰/۴۶۰	۰/۴۰۸	۰/۳۷۰	۰/۳۸۰	۰/۴۱۰
۰/۶۹۹	۰/۵۸۰	۰/۵۸۲	۰/۷۳۶	۰/۵۳۷	۰/۵۰۵	۰/۴۱۷
۰/۸۰۸	۰/۷۲۷	۰/۷۲۱	۰/۸۲۴	۰/۷۰۵	۰/۶۷۷	۰/۶۲۷
۰/۸۷۹	۰/۸۴۲	۰/۸۱۹	۰/۹۱۴	۰/۸۳۴	۰/۷۹۵	۰/۷۷۳
۰/۹۲۲	۰/۹۲۶	۰/۸۸۶	۰/۹۴۵	۰/۹۲۵	۰/۸۷۷	۰/۸۶۶
۰/۹۰۶	۰/۹۷۰	۰/۹۳۴	۰/۹۸۲	۰/۹۷۲	۰/۹۲۹	۰/۹۴۷
۰/۹۸۲	۰/۹۸۷	۰/۹۶۶	۱/۰۲۰	۰/۹۹۱	۰/۹۶۷	۰/۹۶۴
۱/۰۰۹	۰/۹۹۶	۰/۹۸۶	۱/۰۲۳	۰/۹۹۶	۰/۹۸۸	۰/۹۸۳
۱/۰۰۸	۱/۰۰۰	۰/۹۹۸	۱/۰۰۷	۱/۰۰۰	۰/۹۹۸	۰/۹۹۴
۱/۰۰۰	۱/۰۰۰	۱/۰۰۰	۱/۰۰۰	۱/۰۰۰	۱/۰۰۰	۹۰

جدول ۶: مقایسه تابع ناهمسانگردی این تحقیق با دیگر پژوهش‌ها (فواصل ۳، ۴ و ۵ سانتی‌متری)

(cm)

۵			۴			۳			زاویه(درجه)
IAI-125	Amersham 6711	این تحقیق	IAI-125	Amersham 6711	این تحقیق	IAI-125	Amersham 6711	این تحقیق	
.۰/۵۰۰	.۰/۵۵۰	.۰/۶۱۵	.۰/۵۳۵	.۰/۵۲۰	.۰/۶۱۰	.۰/۵۶۷	.۰/۴۸۸	.۰/۵۹۰	.
.۰/۶۶۶	.۰/۶۴۵	.۰/۶۷۶	.۰/۶۹۰	.۰/۶۳۰	.۰/۶۵۴	.۰/۶۹۸	.۰/۶۰۹	.۰/۶۲۸	۱۰
.۰/۸۰۰	.۰/۷۶۰	.۰/۷۷۸	.۰/۸۰۴	.۰/۷۵۲	.۰/۷۶۵	.۰/۸۰۳	.۰/۷۴۳	.۰/۷۴۹	۲۰
.۰/۸۹۱	.۰/۸۵۲	.۰/۸۵۲	.۰/۸۹۱	.۰/۸۴۸	.۰/۸۴۳	.۰/۸۹۰	.۰/۸۴۶	.۰/۸۳۳	۳۰
.۰/۹۵۶	.۰/۹۲۸	.۰/۹۰۵	.۰/۹۴۹	.۰/۹۲۸	.۰/۸۹۹	.۰/۹۴۴	.۰/۹۲۶	.۰/۸۹۴	۴۰
۱/۰۰۳	.۰/۹۶۹	.۰/۹۵۱	.۰/۹۹۲	.۰/۹۶۹	.۰/۹۴۲	.۰/۹۸۶	.۰/۹۶۹	.۰/۹۳۹	۵۰
۱/۰۲۴	.۰/۹۸۷	.۰/۹۷۷	۱/۰۰۸	.۰/۹۸۷	.۰/۹۷۰	.۰/۹۹۸	.۰/۹۸۷	.۰/۹۷۲	۶۰
۱/۰۳۴	.۰/۹۹۵	.۰/۹۹۲	۱/۰۱۸	.۰/۹۹۵	.۰/۹۸۷	۱/۰۲۹	.۰/۹۹۵	.۰/۹۸۶	۷۰
۱/۰۳۲	.۰/۹۹۹	۱/۰۰۵	۱/۰۳۱	.۰/۹۹۹	۱/۰۰۰	۱/۰۳۱	.۰/۹۹۹	.۰/۹۹۸	۸۰
۱/۰۰۰	۱/۰۰۰	۱/۰۰۰	۱/۰۰۰	۱/۰۰۰	۱/۰۰۰	۱/۰۰۰	۱/۰۰۰	۱/۰۰۰	۹۰

شکل ۴: نمودار $F(1, \theta)$ چشمه در این تحقیق و دو چشمۀ دیگرشکل ۵: نمودار $F(3, \theta)$ چشمه در این تحقیق و دو چشمۀ دیگر

شکل ۶: نمودار $F(5,θ)$ چشمۀ در این تحقیق و دو چشمۀ دیگر

باشد. کل مراحل آماده‌شدن مارکر، ۶ ساعت طول می‌کشد و این میله به راحتی درون استوانه‌های تیتانیومی قرار می‌گیرد و چون شبیه‌سازی مونت کارلو، روشی دقیق برای محاسبه پارامترهای دزیمتری چشمۀ است و حتی در نقاطی مثل نقاط نزدیک به چشمۀ که در جذب شده و شبیه تغییرات دز زیاد است، روشی دقیق‌تر و مفیدتر از روش تجربی است. با استفاده از کد MCNPX که کد دقیق و قدرتمندی برای شبیه‌سازی در زمینه‌های مختلف است، ویژگی‌های پارامتری چشمۀ از روش مونت کارلو به دست آمد و ملاحظه شد که این ویژگی‌ها با ویژگی‌های چشمۀ های معمول دیگر همخوانی دارد و با توجه به اینکه استفاده از چشمۀ های کم انرژی در درمان بیماری مزایای زیادی دارد، این چشمۀ جدید می‌تواند به عنوان یک چشمۀ جدید برآکی تراپی به کار رود.

۴. بحث و نتیجه گیری

جدول‌ها و شکل‌ها علاوه بر بیان ویژگی‌های دزیمتری چشمۀ، ویژگی‌های این چشمۀ و دیگر چشمۀ‌ها را با هم مقایسه می‌کنند. اختلافی که بین نتایج وجود دارد، ناشی از تفاوت در ساختار چشمۀ‌هاست. همان‌طور که از جداول و شکل‌ها دیده می‌شود، توافق خوبی بین ویژگی‌های دزیمتری این چشمۀ طراحی شده و ADVANTAGE™ I^{125} چشمۀ‌های شناخته شده دیگر مثل IAI_125 و Amersham 6711 وجود دارد که بیانگر این مدل است که این چشمۀ می‌تواند به عنوان چشمۀ برآکی تراپی مورد استفاده قرار گیرد. از آنجاکه تحقیق بهینه‌سازی جذب I^{125} روی U.J.Park و همکاران [۷] نشان داد که $Ag+Al_2O_3$ به راحتی روی $Ag+Al_2O_3$ می‌چسبد و توزیع آن نیز I^{125} یکنواخت است، $Ag+Al_2O_3$ می‌تواند حامل خوبی برای I^{125} باشد.

۵. مراجع

- [1] D. Nori, Conformal brachytherapy of prostate cancer: an effective outpatient treatment. *Cancer Watch* 1 (1992), 124–126.
- [2] K.J. Russell and J.C. Blasko, Recent advances in interstitial brachytherapy for localized prostate cancer. *Probl. Urol.* 7 2 (1993), 260–278.
- [3] M.S. Porrazzo, B.S. Hilaris, C.R. Moorthy, A.E. Tcheliebi, C.A. Mastoras, L.L. Shih, L. Stabile and N. Salvaras, Permanent interstitial implantation using palladium-103: The New York Medical

- college preliminary experience. *Int. J. Rad. Onc. Biol. Phys.* 23 (1992), 1033–1036.
- [4] J.C. Blasko, K. Wallner, P.D. Grimm and H. Ragde, Prostate specific antigen based control following ultrasound guided ^{125}I implantation for Stage T1/T2 Prostate carcinoma. *J. Urol.* 154 (1995), 1096–1099.
- [5] Duggan DM, Improved radial dose function estimation using current version MCNP Mont-Carlo simulation: Model 6711 and ISC3500 125I brachytherapy sources, *Appl. Radiat. Isot.* 61 (2004), 1443–1450.
- [6] Usgaonker SR, MCNP Modeling of prostate brachytherapy and of organ dosimetry, 2003; MSc thesis, USA.
- [7] U. J. Park, J. S Lee, K. J. Son, H. S. Han, S. S. Nam, The adsorption of ^{125}I on a Ag+Al₂O₃ rod as a carrier body for a brachytherapy source. *Journal of Radioanalytical and Nuclear Chemistry.* 277 2 (2008), 429–432.
- [8] M.J. Rivard, B.M. Coursey, L.A. DeWerd, W.F. Hanson, M.S. Huq, G.S. Ibbott, M.G. Mitch, R. Nath and J.F. Williamson, Update of AAPM task group no. 43 report: a revised AAPM protocol for brachytherapy dose calculations, *Med. Phys.* 31 (2004), 633–674.
- [9] R. Nath and N. Yue, Dosimetric characterization of a newly designed encapsulated interstitial brachytherapy source of iodine-125—model LS-1 BrachyseedTM, *Appl. Radiat. Isot.* 55 (2001), 813–821.
- [10] J.F. Briesmeister, Editor, *MCNP-4C A General Monte Carlo N-Particle Transport Code System—Version 4C*, Los Alamos National Laboratory, Louisiana (2000).
- [11] M. Sadeghi, G. Raisali, S.H. Hosseini and A. Shavar, Monte Carlo calculations and experimental measurements of dosimetric parameters of the IRA ^{103}Pd brachytherapy source, *Med. Phys.* 34 (2008), 1288–1294.
- [12] Z. Li, J.R. Palta and J.J. Fan, Monte Carlo calculations and experimental measurements of dosimetry parameters of a new ^{103}Pd source, *Med. Phys.* 27 (2000), pp. 1108–1112.
- [13] M.J. Rivard, A discredited approach to determining TG-43 brachytherapy dosimetry parameters: case study using Monte Carlo calculation for the ^{103}Pd MED3633 source, *Appl. Radiat. Isot.* 55 (2001), 775–782.
- [14] Z. Li, J.R. Palta and J.J. Fan, Monte Carlo calculations and experimental measurements of dosimetry parameters of a new ^{103}Pd source, *Med. Phys.* 27 (2000), 1108–1112.
- [15] A.S. Meigooni, Z. Bharucha, M. Yoe-Sein and K. Sowards, Dosimetric characteristics of the bests double-wall ^{103}Pd brachytherapy source, *Med. Phys.* 28 (2001), 2568–2575.
- [16] Ali S. Meigooni,^{a)} Joshua L. Hayes, Hualin Zhang, and Keith Sowards, Experimental and theoretical determination of dosimetric characteristics of IsoAid ADVANTAGETM ^{125}I brachytherapy source, *Med. Phys.* 29 9 (2002), 2152–2158.
- [17] J. F. Williamson, H. Perera, and Z. Li, Comparison of calculated and measured heterogeneity correction factors for ^{125}I , ^{137}Cs , and ^{192}Ir brachytherapy source near localized heterogeneities, *Med. Phys.* 20 (1993), 209–222.
- [18] A. S. Meigooni, M. M. Yoe-Sein, A. Al-Otoom, and K. Sowards, Determination of the dosimetric characteristics of interSource125 iodine brachytherapy source, *Appl. Radiat. Isot.* 56 (2002), 589–599.
- [19] A.S. Meigooni, D.G. Gearheart and K. Sowards, Experimental determination of dosimetric characteristics of Best® ^{125}I brachytherapy source, *Med. Phys.* 27 9 (2000), 2168–2173.
- [20] R.E. Wallace and J.J. Fan, Report on the dosimetry of a new design ^{125}I brachytherapy source. *Med. Phys.* 26 9 (1999), 1925–1931.